

I-6 弾塑性状態における横波伝播の数値計算例(第2報)

京都大学防災研究所 正員 石崎義雄
立命館大学理工学部 正員○島山直隆
全 上 正員 荒井正己

建物の振動時における挙動が塑性領域にまで及んだ場合の非線型振動に関する研究は小堀氏のものがいる。これは建物を質点系に抽象しており、建物の耐震問題に関して多くの重要な結果をえている。ここでは地盤を高さ方向に連続体とし、せん断振動を取り扱うこととした。この場合に振動時における地盤の応力が塑性領域に入ることになれば周知通り、もはや偏微分方程式は重ね合せの原理が適用されず解析的に解くことができなくなる。そこでここでは差分法を用いて微小時間ごとの変形と応力を求めることにした。地震波の破壊的な波は地震のごく初期に現われるものであり、したがって破壊的一波をまとめて問題にするべきであろう。この意味でこの差分法を用いて底部より横波が入射した1周期以内のごく初期の状態について数値計算を行なうこととした。つぎに地盤の振動時における応力-歪曲線をここでは完全弾性、完全塑性と仮定したが、実際の地盤ではこのよくな応力-歪曲線を示すものは考えられないし、地盤を構成する土の振動時における特性を考慮することなしに、実際の地震による地盤の振動特性を考えることはできないけれども、地盤の動態時における挙動が塑性領域まで及んだ場合の基礎的性質を明かにすることは重要なことと考える。

(1) 差分式：完全剛な地盤の上に1つの表層があるものとし、横波が剛地盤より入射するものとする。深さ方向にx軸をとり、これと直角方向の変位をyとする。層厚とH、せん断弹性係数をc、密度をfとする。 $c/f = C$ とすれば運動方程式は次のようになる。

$$\frac{\partial^2 u}{\partial t^2} = \frac{\partial c}{\partial x} \cdot \frac{\partial u}{\partial x} + C \frac{\partial^2 u}{\partial x^2} \quad \dots \quad (1)$$

つぎにある時刻tの位置xなるyの値を u_0 とし、高さ方向にn+3等間隔に区分した場合、各点のx方向の変位をそれぞれ u_1, u_2 とし、 u_0, u_1, u_2 における $c = u/f$ をそれぞれ C_0, C_1, C_2 とする。 $t-t$, $t+t$ なる時刻の u_0 の値をそれぞれ u_I, u_{II} とすれば(1)式は次、差分式で表わすことができる。

$$u_I + u_{II} - 2u_0 = \frac{c^2}{H^2} \left\{ \frac{1}{4} (C_1 - C_2)x u_1 - u_2 + C_0(u_1 + u_2 - 2u_0) \right\} \quad \dots \quad (2)$$

高さ方向の区分点0, 1, 2が弾性域にあるか、塑性域にあるかによつて(2)式より8通りの差分式が得られる。

(2) 数値計算：表層の厚さ $H = 15m$ とし、 $1.5m$ ごとに区分する。横波速度 $V_s = 120m/sec$ とする。この表層を弾性体と考えれば固有周期は $0.5''$ となる。下層よりA sinpt の形の横波が入射するものとし、 $A = 1$ 、周期を $0.45'', 0.50'', 0.55''$ とする。各加振周期をそれぞれ36, 40, 44等分し、時間間隔 $\tau = 0.0125''$ とする。この微小時間ごとの変位とせ

ん断応力を弾性体と考えた場合、塑性を考慮した場合について計算した。計算結果の1例を図-1に示した。図-2は剛地盤より1.5, 3.0mにおける応力-歪曲線を示した。

$$T_0 = 0.50'' \quad d = u_1 - u_2 = 0.5$$

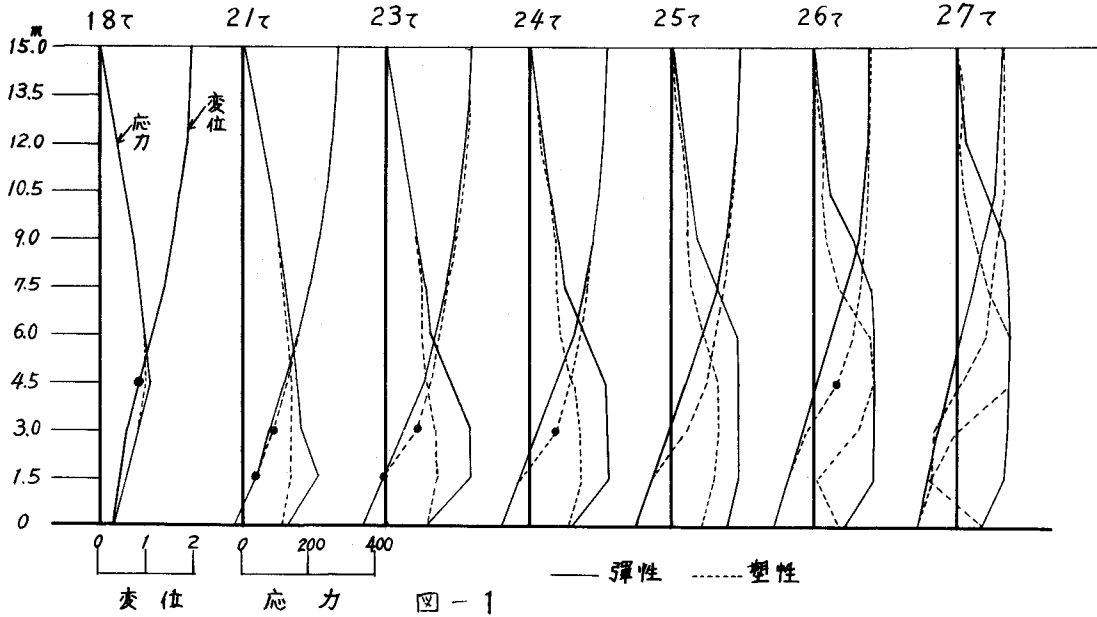


図-1

(3) 計算結果：(i) 正弦波が入射した場合は剛地盤に近いところでは塑性領域に入り易い。(ii) 塑性域に入つて時間が経過すると弾性体の場合より変位は大となる。(iii) 応力分布は弾性体の場合とは相当異った形になる。(iv) ある時刻に1点が塑性領域に入ると、時間の経過とともに次第に上、下方の点が塑性領域に入つてくるが、再び弾性域に入る。このときの塑性区間の歪の大きさは剛地盤から1.5～3.0 mの地盤において最も大である。(v) 弹性域から塑性域に入る歪の大きさが小さいほど塑性区間の歪の大きさが大である。

(4) 結論：質実系の計算では得られない多くの結果が得られるようであるが、なお計算例が少ないので十分の検討が進められないので、さらに多くの場合の計算を続行中である。

なおこうした地盤のせん断振動としての結果は建物のような構造物にも適用されるものと考えられる。

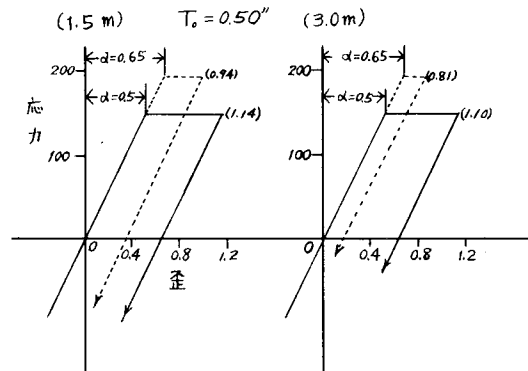


図-2